

酸硫化ガドリニウム蛍光板と CMOS カメラを用いた リアルタイムデジタルラジオグラフィーシステム

寒河江康朗, 佐藤 英一

岩手医科大学共通教育センター物理学科, 〒028-3694 岩手県紫波郡矢巾町西徳田 2-1-1

(受付 2007年10月26日)

Real-time digital radiography system utilizing
a gadolinium oxysulfide screen and a CMOS camera

Michiaki Sagae and Eiichi Sato

Department of Physics, Iwate Medical University, 2-1-1 Nishitokuta, Yahaba 028-3694, Japan

(Received October 26, 2007)

Abstract

A preliminary experiment for real-time digital radiography system is described. The radiography system consists of a 100- μm -focus x-ray generator, a CMOS camera, a gadolinium oxysulfide screen, and a personal computer (PC). An object is exposed by the x-ray generator, the x-ray image on the screen is taken by the camera, and the digital AVI and JPG files are recorded by the PC. The x-ray intensity was 2.66 $\mu\text{Gy/s}$ at 0.5 m from the source with a tube voltage of 80 kV and a tube current of 0.5 mA. The repetition rate was approximately 1 fps (Hz), and the spatial resolution was about 300 μm .

Keywords: digital radiography, real-time radiography, CMOS camera, gadolinium oxysulfide screen, micro-focus x-ray tube

1. はじめに

フラッシュ X 線¹⁻³は高速度撮影に有用で、撮影目的に応じて様々なタイプの装置が試作・開発されてきた。特に、プラズマ X 線装置⁴⁻⁸からはクリーンな K 系列特性 X 線が発生するので、これらの X 線はマンモグラフィー、ヨウ素 K エッジ造影、ガドリニウム K エッジ造影などに利用できる。しかし、X 線照射時間が 1 μs 以下であるため、リアルタイム撮影に応用することは難しい。このような観点から、単色 X 線を定的に発生できる X 線装置^{9,10}の開発も行ってきた。

CCD の進歩により、ボケや残像がない超高感度 CCD カメラが開発され、暗視カメラなどに使用さ

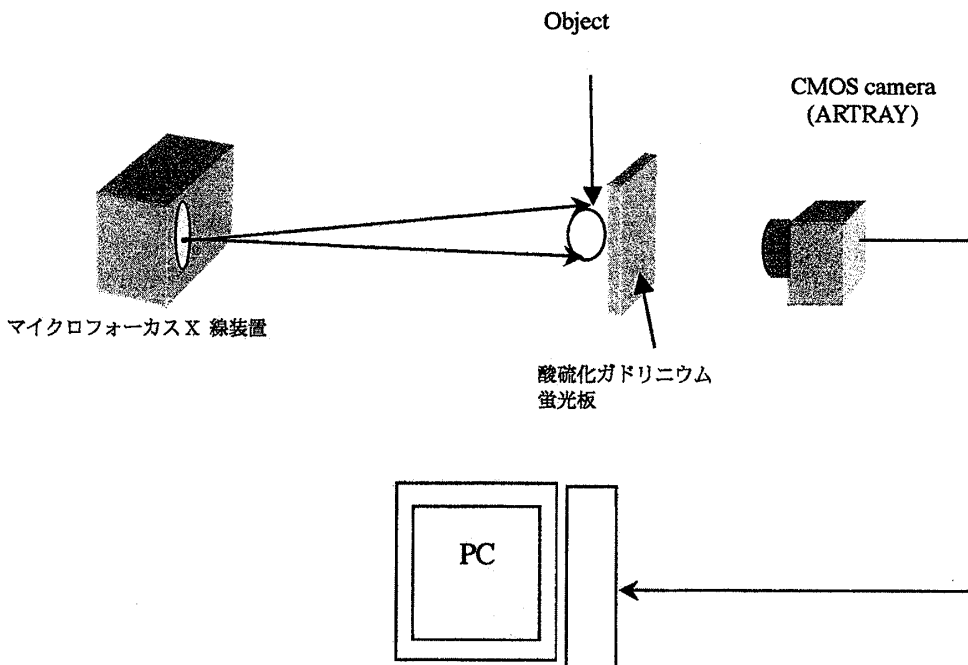


Fig. 1. Block diagram of a real-time digital radiography system utilizing a CMOS camera.

れている。このカメラをX線撮影に用いれば高感度リアルタイム撮影システムへの応用が可能になる。また、シャッタースピードを1ms程度まで縮めることができることから、ぶれの無い静止画像を得ることができる。しかし、超高感度カメラは未だ高価なため、撮影システム全体も高価となる。

本研究では、低価格のCMOSカメラと高感度の酸硫化ガドリニウム蛍光板を組み合わせた安価なりアルタイムデジタルX線撮影システムを試作した。

2. 装置

リアルタイムデジタルX線撮影システムのブロック図をFig. 1に示す。システムはマイクロフォーカスX線装置、ARTRAY製CMOSカメラ(ARTCAM-300MI)、デジタルラジオグラフィー(DR)用酸硫化ガドリニウム蛍光版(DRZ-HIGH, $\text{Gd}_2\text{O}_2\text{S}$: Tb), パソコン(PC)などからなる。被写体にX線を照射し、蛍光板に現れた被写体の透過画像をCCTVレンズを取り付けたカメラで撮影する。動画や静止画のファイルはUSBを介してPCのハードディスク(HD)に保存される。

3. 実験結果

3.1. X線強度

Fig. 2はX線強度で、電離箱(RAMTEC 1000 plus)を用いて測定した。X線源と電離箱までの距離は0.5m、管電流は0.5mAであった。管電圧の増加に伴い、X線強度も増加した。管電圧80kVにおけるX線強度

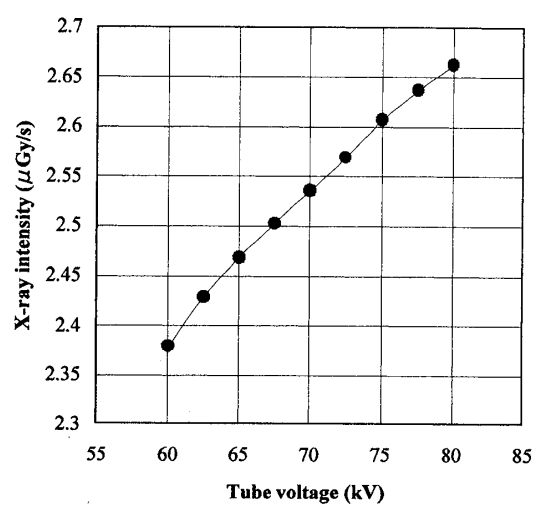


Fig. 2. X-ray intensity at 0.5 m per pulse.

は $2.66 \mu\text{Gy}/\text{s}$ であった。

3.2. X線撮影

次のFigs. 3～6はX線写真で、管電圧と管電流はそれぞれ70kV, 0.5mAであった。また、X線源と被写体との距離は0.5mで、蛍光板とカメラの距離を0.21mとし、蛍光板と被写体を密着させて撮影した。

Fig. 3は透明アクリルの円柱に直径100μmのタンゲステン線を巻いて撮影したX線像である。タンゲステン線は一応認識できた。次にテストチャートをFig. 4に示す。313μmの線までは見えるが、250μmはほとんど見えなかった。Fig. 5は椎骨で、骨の構造はおおむね観察できた。最後に、ヨウ素を用いて造影した犬の心臓をFig. 6に示す。0.5mm程度の血管まで見ることができた。

4. おわりに

デジタルカメラの性能は日進月歩で、特にCCDやCMOSカメラの感度、フレームレート、画素数などが著しく増加し、カメラ自体も安価になりつつある。一般に、X線撮影システムは高価であるが、高輝度蛍光版とCMOSカメラを用いた場合には、ここで紹介したような簡便で安価なリアルタイムデジタルX線撮影システムが実現できる。

使用したARTRAY社製カメラは高感度だけではなく、画像取り込み用プログラムも簡単で使い易く、十分にX線撮影に適用できる。しかし、高輝度版の蛍光粒子が粗いため、分解能が低下した。今後、分解能を向上させるためには、輝度は下がるが、ファイバーブレート付の蛍光版を使用する必要がある。

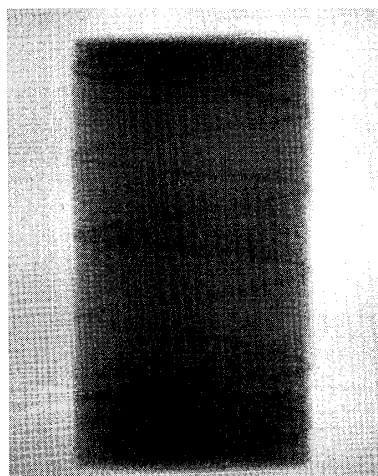


Fig. 3. Radiogram of a 100-μm-diam tungsten wire coiled around a PMMA rod.

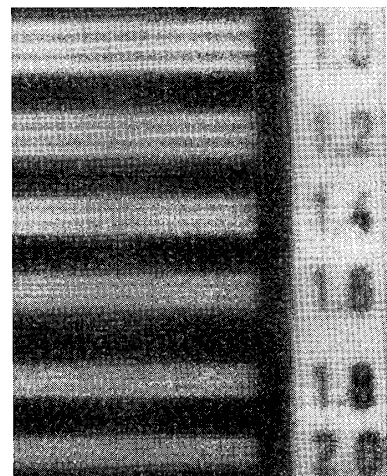


Fig. 4. Radiogram of a test chart for measuring spatial resolution.

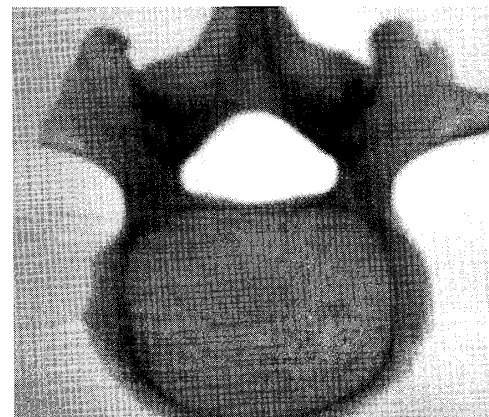


Fig. 5. Radiogram of a vertebra.

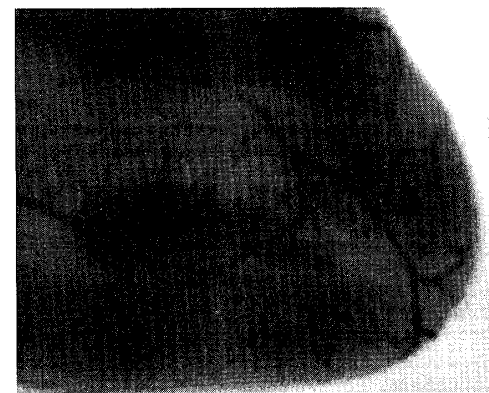


Fig. 6. Radiogram of a dog heart.

文 献

1. E. Sato, K. Takahashi, M. Sagae, S. Kimura, T. Oizumi, Y. Hayasi, Y. Tamakawa and T. Yanagisawa, "Sub-kilohertz flash x-ray generator utilizing a glass-enclosed cold-cathode triode," Med. & Biol. Eng. & Comput., **32**, 289-294, 1994.
2. E. Sato, M. Sagae, E. Tanaka, Y. Hayasi, R. Germer, H. Mori, T. Kawai, T. Ichimaru, S. Sato, K.

- Takayama and H. Ido, "Quasi-monochromatic flash x-ray generator utilizing a disk-cathode molybdenum tube," Jpn. J. Appl. Phys., **43**, 7324-7328(2004).
3. E. Sato, E. Tanaka, H. Mori, T. Kawai, T. Ichimaru, S. Sato, K. Takayama and H. Ido, "Compact monochromatic flash x-ray generator utilizing a disk-cathode molybdenum tube," Med. Phys., **32**, 49-54(2005).
 4. E. Sato, Y. Hayasi, R. Germer, E. Tanaka, H. Mori, T. Kawai, T. Ichimaru, S. Sato, K. Takayama and H. Ido, "Sharp characteristic x-ray irradiation from weakly ionized linear plasma," J. Electron Spectrosc. Related Phenom., **137-140**, 713-720(2004).
 5. E. Sato, Y. Hayasi, K. Kimura, E. Tanaka, H. Mori, T. Kawai, T. Inoue, A. Ogawa, S. Sato, K. Takayama, J. Onagawa and H. Ido, "Enhanced K-edge angiography utilizing tantalum plasma x-ray generator in conjunction with gadolinium-based contrast media," Jpn. J. Appl. Phys., **44**, 8716-8721 (2005).
 6. E. Sato, Y. Hayasi, R. Germer, E. Tanaka, H. Mori, T. Kawai, T. Inoue, A. Ogawa, S. Sato, K. Takayama, J. Onagawa, "X-ray spectra from weakly ionized linear copper plasma," Jpn. J. Appl. Phys., **45**, 5301-5306(2006).
 7. E. Sato, Y. Hayasi, E. Tanaka, H. Mori, T. Kawai, T. Inoue, A. Ogawa, S. Sato, K. Takayama, J. Onagawa and H. Ido, "K-edge angiography utilizing a tungsten plasma x-ray generator in conjunction with gadolinium-based contrast media," Rad. Phys. Chem., **75**, 1841-1849(2006).
 8. M. Sagae, E. Sato, E. Tanaka, H. Mori, T. Kawai, T. Inoue, A. Ogawa, S. Sato, K. Takayama, J. Onagawa and H. Ido, "Intense clean characteristic flash x-ray irradiation from an evaporating molybdenum diode," Opt. Eng., **46**, 026502-1-7(2007).
 9. E. Sato, E. Tanaka, H. Mori, T. Kawai, T. Inoue, A. Ogawa, S. Sato, K. Takayama and J. Onagawa, "Characteristic x-ray generator utilizing angle dependence of bremsstrahlung x-ray distribution," Jpn. J. Appl. Phys., **45**, 2845-2849(2006).
 10. E. Sato, E. Tanaka, H. Mori, T. Kawai, T. Inoue, A. Ogawa, M. Izumisawa, K. Takahashi, S. Sato, T. Ichimaru and K. Takayama, "Super-characteristic x-ray generator utilizing a pipe and rod target," SPIE, **6319**, 63190Q-1-6(2006).